

ЭФФЕКТЫ РАДИАЛЬНОЙ РЕЛАКСАЦИИ И МЕЖБОЛОЧЕЧНЫХ КОРРЕЛЯЦИЙ ПРИ РЕЗОНАНСНОМ НЕУПРУГОМ РАССЕЯНИИ ФОТОНА АТОМОМ

*А. Н. Хоперский**, *А. М. Надолинский*, *В. А. Явна*, *А. С. Каспржицкий*

*Ростовский государственный университет путей сообщения
344038, Ростов-на-Дону, Россия*

Поступила в редакцию 22 мая 2006 г.

В нерелятивистском приближении для одноэлектронных волновых функций и дипольном приближении для аномально-дисперсионной амплитуды вероятности рассеяния рассчитаны абсолютные величины и форма дважды дифференциального сечения резонансного неупругого рассеяния линейно-поляризованного фотона в области энергии порога ионизации субвалентной s -оболочки свободных атомов неона и аргона. Учтены эффекты радиальной релаксации, межоболочечных корреляций, тормозного излучения, спин-орбитального расщепления и конечной ширины распада s -вакансии. Получено, что эффекты радиальной релаксации и межоболочечных корреляций существенно определяют интенсивность околорогового рассеяния, в несколько раз уменьшая вклад лидирующей комптоновской аномально-дисперсионной компоненты полного сечения рассеяния, рассчитанный в одноэлектронном приближении. Результаты расчета носят предсказательный характер.

PACS: 32.80.-t

1. ВВЕДЕНИЕ

В работе авторов [1] предложены нерелятивистская квантовая теория и методы расчета абсолютных величин и формы дважды дифференциального сечения процесса резонансного неупругого рассеяния рентгеновского фотона мягкого и жесткого диапазонов (энергии падающего $\hbar\omega_1$ и рассеянного $\hbar\omega_2$ фотонов от 300 эВ до 1.5 МэВ, ω — круговая частота фотона) свободным атомом в области энергий порогов ионизации его глубоких оболочек с учетом широкой иерархии многочастичных эффектов.

В данной статье мы распространяем теорию и методы расчета этой работы на область рентгеновского вакуумного ультрафиолетового диапазона (энергии фотонов от 10 до 80 эВ) — область энергий порогов ионизации валентных и субвалентных оболочек свободных атомов.

В качестве объектов исследования взяты простые многоэлектронные системы с 1S_0 -термом основного состояния — атомы неона (Ne, заряд ядра $Z = 10$, электронная конфигурация основного со-

стояния $[0] = 1s^2 2s^2 2p^6$) и аргона (Ar, $Z = 18$, $[0] = 1s^2 2s^2 2p^6 3s^2 3p^6$).

На примере этих элементов мы проводим первое теоретическое исследование роли многочастичных эффектов радиальной релаксации, межоболочечных корреляций и тормозного излучения в определении абсолютных величин и формы дважды дифференциального сечения резонансного неупругого рассеяния линейно-поляризованного фотона в случае областей энергий L_1 (Ne)- и M_1 (Ar)-порогов ионизации субвалентной оболочки атома.

Такие исследования востребованы, в частности, в контексте проблем создания рентгеновского лазера на высокотемпературной лабораторной плазме как активной среде [2, 3] с использованием, например, эмиссионного $2p \rightarrow 2s$ -перехода в атоме Ne [4] и неоподобных ионах и диагностики эмиссионных линий астрофизических спектров. Так, можно предположить, что эффекты межоболочечных корреляций будут играть важную роль при анализе остающихся значительных расхождений результатов теории и экспериментов с лабораторной плазмой в величинах интенсивностей важных для задач астрофизики

*E-mail: hopersky_vm_1@rgups.ru

эмиссионных $3s \rightarrow 2p$ - и $3d \rightarrow 2p$ -переходов с участием валентной оболочки многозарядных неоноподобных ионов аргона (Ar^{8+}) [5] и железа (Fe^{16+}) [6].

2. ТЕОРИЯ МЕТОДА

Рассмотрим случай схемы предполагаемого эксперимента $\mathbf{e}_{1,2} \perp P$, где определены векторы поляризации падающего (\mathbf{e}_1) и рассеянного (\mathbf{e}_2) фотонов и плоскость P рассеяния, проходящая через их волновые векторы.

Учтем основные в области энергий порогов ионизации (аномально-дисперсионная область рассеяния) субвалентных ns -оболочек атомов Ne ($n = 2$) и Ar ($n = 3$) каналы резонансного неупругого рассеяния (здесь и далее при записи конфигурации заполненные электронные оболочки не указаны):

$$\hbar\omega_1 + [0] \rightarrow \left\{ \begin{array}{l} M(\varepsilon) \\ T(\varepsilon) \end{array} \right\} \rightarrow K(\varepsilon) + \hbar\omega_2, \quad (1)$$

$$M(\varepsilon) = ns\varepsilon p(^1P_1), \quad T(\varepsilon) = np^5\varepsilon d(^1P_1),$$

$$K(\varepsilon) = np^5\varepsilon p(^1S_0, ^1D_2).$$

Радиационный переход

$$M \rightarrow K + \hbar\omega_2$$

интерпретируется как эмиссионный переход

$$np \rightarrow ns.$$

Радиационный переход

$$T \rightarrow K + \hbar\omega_2$$

может быть интерпретирован как эффект тормозного излучения при переходе электрона из виртуального состояния сплошного спектра d -симметрии в наблюдаемое состояние сплошного спектра p -симметрии.

Для учета эффекта межоболочечных корреляций (эффект электростатического взаимодействия конфигураций одночастичных возбуждений/ионизации двух и более прежде всего субвалентных и валентных оболочек атома [7]) волновая функция промежуточного M -состояния рассеяния получена во втором порядке квантовомеханической теории возмущений:

$$|\Psi(\varepsilon)\rangle = |M(\varepsilon)\rangle + \int_0^\infty \beta(\varepsilon, x) |T(x)\rangle dx, \quad (2)$$

$$\beta(\varepsilon, x) = V(\varepsilon, x) [\mathcal{P}(E_x^{-1}) - i\pi\delta(E_x)],$$

$$V(\varepsilon, x) = \langle M(\varepsilon) | \hat{H} | T(x) \rangle, \quad E_x = \hbar\omega_1 - I_{np} - x,$$

где T -состояние выступает не в роли непосредственно (порождающего эффект тормозного излучения, см. далее) промежуточного состояния, а как состояние, виртуально возникающее и электростатически взаимодействующее с M -состоянием. Здесь \mathcal{P} — символ главного значения интеграла в смысле Коши, \hat{H} — оператор электростатического взаимодействия, I_{np} — энергия порога ионизации валентной np -оболочки атома и δ — дельта-функция Дирака.

Волновые функции непосредственно промежуточного T -состояния и конечного K -состояния рассеяния получены в одноконфигурационном приближении Хартри–Фока.

В уравнении (1) мы ограничились рассмотрением состояний сплошного спектра (резонансное комptonовское рассеяние), полагая учет состояний дискретного спектра собственно резонансной допороговой области рассеяния (рассеяние Ландсберга–Мандельштама–Рамана) предметом будущих исследований.

Тогда полученное в работе [1] аналитическое выражение для аномально-дисперсионной части дважды дифференциального сечения процесса резонансного неупругого рассеяния линейно-поляризованного фотона атомом в атомной системе единиц ($e = m_e = \hbar = 1$, e — заряд электрона и m_e — его масса) с учетом (2) и суммирования по 1S_0 -, 1D_2 -термам конечного состояния рассеяния принимает вид

$$\frac{d^2\sigma_\perp}{d\omega_2 d\Omega} = r_0^2 \omega_1 \omega_2 \eta^2 \sum_{i=1,2} \zeta_i W_i \Psi_i, \quad (3)$$

$$W_i = \frac{\Delta_i}{(\omega_2 - \Delta_i)^2 + \Gamma_{ns}^2/4} \left(A^2 + B^2 + \frac{\Gamma_{ns}}{\Delta_i} AC \right) + \left(\frac{C}{\omega_2} \right)^2,$$

$$\Psi_i = \frac{1}{2} + \frac{1}{\pi} \arctg \left(\frac{\omega_1 - \omega_2 - I_{ns} + \Delta_i}{\gamma_b} \right).$$

Здесь r_0 — классический радиус электрона, Ω — пространственный угол вылета рассеянного фотона, $\zeta_i = \{2, i = 1; 1, i = 2\}$, $\Delta_i = \{\Delta, i = 1; \Delta - \delta_{SO}, i = 2\}$, $\Delta = I_{ns} - I_{np}$, I_{ns} — энергия порога ионизации субвалентной ns -оболочки, δ_{SO} — константа спин-орбитального расщепления валентной np_j -оболочки ($j = 1/2, 3/2$), Γ_{ns} — полная ширина распада ns -вакансии, $\gamma_b = \Gamma_{beam}/2$, Γ_{beam} — параметр ширины аппаратной (экспериментально фиксируемой функции

распределения по частоте падающего на атом излучения) функции Коши–Лоренца.

Аналитическая структура сечения (3) обусловлена второй суммой в нерелятивистском операторе взаимодействия (в кулоновской калибровке для поля) электромагнитного поля с атомом:

$$\hat{F} = \frac{1}{c} \sum_{i=1}^N \left[\frac{1}{2c} (\mathbf{A}_i)^2 - (\mathbf{p}_i \cdot \mathbf{A}_i) \right], \quad \mathbf{A}_i \equiv \mathbf{A}(\mathbf{r}_i, 0),$$

где c — скорость света, N — число электронов в атоме, \mathbf{A} — оператор (в представлении вторичного квантования) электромагнитного поля в момент времени $t = 0$, \mathbf{p}_i — оператор импульса и \mathbf{r}_i — радиус-вектор i -го электрона.

Первая сумма в операторе \hat{F} определяет аналитическую структуру амплитуды вероятности так называемого контактного (томпсоновского) рассеяния фотона атомом. Она не является предметом изучения данной работы, а вклад контактного рассеяния в полное сечение рассеяния фотона атомами Ne и Ag будет упомянут лишь при анализе полученных результатов.

Составляющие аномально-дисперсионной амплитуды вероятности рассеяния через эмиссионный переход получены в форме длины для оператора радиационных $p \rightarrow s$ - и $d \rightarrow p$ -переходов:

$$\eta = N_{sp} \langle np_+ | \hat{r} | ns \rangle, \quad (4)$$

$$A = Q + \frac{1}{3} N_{np} P \int_0^\infty J(\bar{\omega}, x) E_x^{-1} dx, \quad (5)$$

$$Q = N_{ns} \left(\langle ns_0 | \hat{r} | \bar{\omega} p_+ \rangle - \frac{\langle ns_0 | \hat{r} | np_+ \rangle \langle np_0 | \bar{\omega} p_+ \rangle}{\langle np_0 | np_+ \rangle} \right), \quad (6)$$

$$J(\bar{\omega}, x) = \langle np_0 | \hat{r} | xd \rangle V(\bar{\omega}, x),$$

$$B = \frac{\pi}{3} N_{np} J(\bar{\omega}, \tilde{\omega}), \quad (7)$$

$$\langle nl | ml \rangle = \int_0^\infty P_{nl}(r) P_{ml}(r) dr,$$

$$\langle nl | \hat{r} | m(l+1) \rangle = \int_0^\infty P_{nl}(r) P_{m(l+1)}(r) r dr,$$

$$\bar{\omega} = \omega_1 - \omega_2 - I_{np} \geq 0, \quad \tilde{\omega} = \omega_1 - I_{np} \geq 0,$$

где $P_{nl}(r)$ — радиальная часть волновой функции nl -электрона.

Аналитическая структура амплитуды (6) получена методами теории неортогональных орбиталей [8, 9] и отражает учет эффекта радиальной релаксации одноэлектронных орбиталей промежуточного и конечного состояний рассеяния в хартри-фоковских полях возникающих ns - и np -вакансий. Именно, одноэлектронные волновые функции (s_0, p_0), p_+ и (d, s) получены путем решения нелинейных интегро-дифференциальных уравнений самосогласованного поля Хартри–Фока для, соответственно, конфигураций [0], ns и np^5 . При этом N_{ns} -, N_{np} -, N_{sp} -произведения интегралов перекрывания радиальных частей волновых функций не участвующих в переходе электронов конфигурации основного состояния и конфигураций $ns, np^5, nsnp^5$, соответственно.

В приближении, когда мы игнорируем (замена nl_+ , nl на nl_0) эффект радиальной релаксации, интеграл перекрывания $\langle nl | ml \rangle \rightarrow \delta_{nm}$ (δ_{nm} — символ Кронекера–Вейерштрасса) и парциальные амплитуды вероятности перехода принимают вид

$$\eta \rightarrow \langle np_0 | \hat{r} | ns_0 \rangle, \quad Q \rightarrow \langle ns_0 | \hat{r} | \bar{\omega} p_0 \rangle,$$

$$\langle np_0 | \hat{r} | xd \rangle \rightarrow \langle np_0 | \hat{r} | xd_0 \rangle,$$

что существенно упрощает аналитическую структуру и численный расчет сечения (3).

Составляющая аномально-дисперсионной амплитуды вероятности рассеяния через тормозное излучение получена в форме ускорения для оператора радиационного перехода $d \rightarrow p$ между одноэлектронными состояниями сплошного спектра:

$$\eta C = 2ZN_{np} \langle np_0 | \hat{r} | \tilde{\omega} d \rangle \langle \bar{\omega} d | \hat{q} | \tilde{\omega} p \rangle, \quad q = r^{-2}. \quad (8)$$

Здесь, в частности, в приближении плоских волн для одноэлектронных волновых функций сплошного спектра амплитуда $\langle \bar{\omega} d | \hat{q} | \tilde{\omega} p \rangle$ оказывается сходящимся несобственным интегралом, в силу того что подынтегральная функция

$$\varphi(r) = q \sin(r\sqrt{\bar{\omega}}) \sin(r\sqrt{\tilde{\omega}})$$

регулярна на интервале $r \in [0; \infty)$ и удовлетворяет граничным условиям

$$\varphi(0) = \sqrt{\bar{\omega}\tilde{\omega}} \neq \pm\infty, \quad |\varphi(r)| \propto r^{-n},$$

$$n = 2 > 1, \quad r \rightarrow \infty.$$

Тем самым при построении сечения (3) была снята необходимость [10] тех или иных аналитических аппроксимаций для одноэлектронных волновых функций сплошного спектра при расчете сингулярной

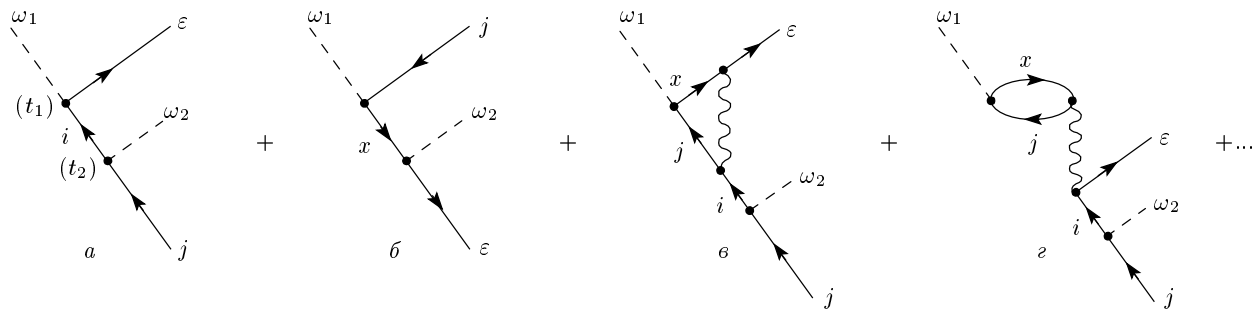


Рис. 1. Представление диаграмм Голдстоуна–Хаббарда–Фейнмана для anomalно-дисперсионной амплитуды вероятности процесса резонансного неупругого рассеяния фотона в области энергии порога ионизации субвалентной *s*-оболочки атомов Ne и Ar. Обозначения даны в тексте. Точки соответствуют бесконечному ряду диаграмм

(при $x = y$) амплитуды вероятности радиационного перехода в форме длины: в частности, в приближении плоских волн имеем

$$\langle xd|\hat{r}|yp\rangle \propto (x - y)^{-2}.$$

Физическая интерпретация происхождения и аналитической структуры составляющих (4)–(8) anomalно-дисперсионной амплитуды вероятности рассеяния может быть дана в представлении диаграмм Голдстоуна–Хаббарда–Фейнмана нерелятивистской квантовой теории многих тел [7, 11]. На рис. 1 приведена часть первых (основных) составляемых бесконечного ряда диаграмм парциальных амплитуд рассеяния для ηQ (рис. 1*a*), ηC (рис. 1*b*) и $\eta(A - Q)$, ηB (рис. 1*v, z*). Введены следующие обозначения: $\omega_1(\omega_2)$ — падающий (рассеянный) фотон; $i(j) = ns(np)$ — вакансия; $\varepsilon = \varepsilon p$ — фотоэлектрон конечного состояния рассеяния, $x = xd$ — фотоэлектрон промежуточного состояния рассеяния; стрелка вправо (влево) — состояние рождается выше (ниже) уровня Ферми (совокупность квантовых чисел валентной *np*-оболочки атома); волнистая линия — кулоновское взаимодействие; направление времени — слева направо ($t_1 < t_2$). Так, например, диаграмма *a* описывает амплитуду следующего процесса. В момент времени t_1 субвалентная *ns*-оболочка атома поглощает ω_1 -фотон. В результате радиационного $ns \rightarrow \varepsilon p$ -перехода возникает $i(ns)$ -вакансия и $\varepsilon(\varepsilon p)$ -фотоэлектрон. В момент времени $t_2 > t_1$ излучается ω_2 -фотон при радиационном $ns \rightarrow np$ -распаде *ns*-вакансии. В результате $i(ns)$ -вакансия «захлопывается» *np*-электроном и образуется валентная $j(np)$ -вакансия.

Заметим, что при расчете амплитуд вероятности рассеяния мы не обращались к математической технике диаграмм Голдстоуна–Хаббарда–Фейнмана,

они приведены лишь с целью иллюстрации квантовой динамики процессов рассеяния на одночастичном уровне. Более того, установление точного соответствия аналитических структур парциальных амплитуд вероятности рассеяния $\eta(A, B, C)$ бесконечным рядам диаграмм представляет собой самостоятельную проблему, решение которой не входило в задачу данной работы.

В заключение этого раздела отметим следующее. В энергетической области ненулевой энергии ω_1 и при $\omega_2 \rightarrow 0$ из (3) получаем

$$\frac{d^2\sigma_{\perp}}{d\omega_2 d\Omega} \propto \frac{1}{\omega_2} C^2 \rightarrow \infty. \tag{9}$$

Результат (9) в литературе известен как проблема «инфракрасной катастрофы (расходимости)» при вычислении вероятности излучения электроном длинноволнового фотона [12, 13]. Появление этой расходимости говорит о необходимости в данном случае выхода за рамки квантовомеханической теории возмущений, в которых в работе [1] была построена математическая модель дважды дифференциального сечения процесса резонансного неупругого рассеяния фотона свободным атомом. Таким образом, выражение для сечения (3) при ненулевой энергии ω_1 и при $\omega_2 \rightarrow 0$ становится, строго говоря, неприменимым.

3. РЕЗУЛЬТАТЫ РАСЧЕТА И ОБСУЖДЕНИЕ

Результаты расчета сечения (3) в областях энергий падающего фотона ω_1 от 25 до 100 эВ и рассеянного фотона ω_2 от 16 до 30 эВ приведены на рис. 2–5.

Для ширины распада *2s*-вакансии атома Ne принято значение $\Gamma_{2s} = 0.05$ эВ, измеренное по экс-

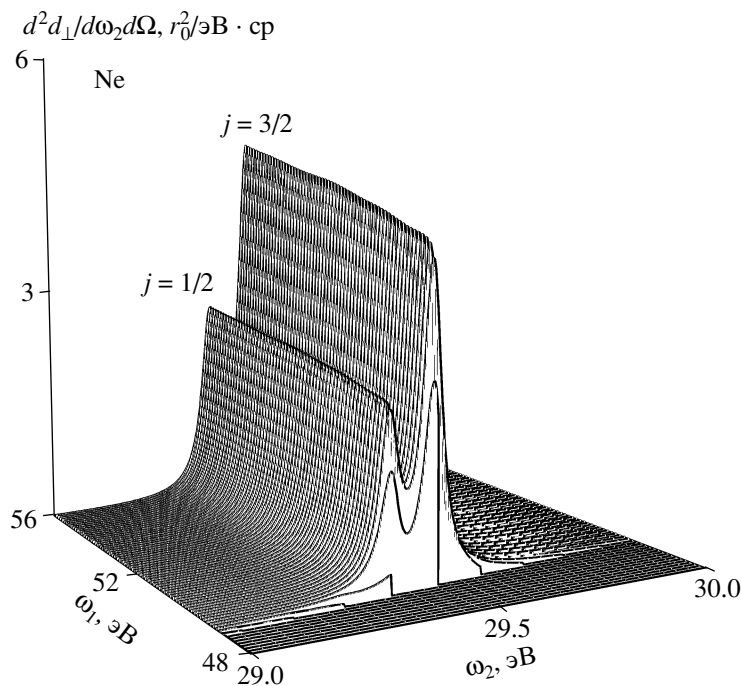


Рис. 2. Дважды дифференциальное сечение (в единицах $r_0^2/\text{эВ} \cdot \text{ср}$; $r_0^2 = 7.941 \cdot 10^{-26} \text{ см}^2$) резонансного неупругого рассеяния линейно-поляризованного (перпендикулярно плоскости рассеяния) фотона атомом Ne в области энергии L_1 -порога ионизации $I_{2s} = 49.314 \text{ эВ}$. Учтены эффекты радиальной релаксации, межоболочечных корреляций и спин-орбитального расщепления $2p_j$ -оболочки ($j = 1/2, 3/2$); $\omega_1(\omega_2)$ — энергия падающего (рассеянного) фотона, Ω — пространственный угол вылета рассеянного фотона. $\Gamma_{2s} = \Gamma_{beam} = 0.05 \text{ эВ}$, $\delta_{SO} = 0.094 \text{ эВ}$

периментальному спектру поглощения фотона его $2s$ -оболочкой [14]. Для параметра ширины Γ_{beam} аппаратной функции принято значение 0.05 эВ . Тем самым мы предположили, что уровни спектрального разрешения эксперимента по энергиям падающего и рассеянного фотонов одинаковые. Теоретическое значение константы спин-орбитального расщепления $2p$ -оболочки $\delta_{SO} = 0.094 \text{ эВ}$ взято из работы [15]. Нерелятивистский расчет энергий порогов ионизации $2s$ - и $2p$ -оболочек в данной работе дал значения $I_{2s} = 49.314 \text{ эВ}$, $I_{2p} = 19.845 \text{ эВ}$.

Измеренное в работе [16] радиационное (распад по оже-каналу запрещен) время жизни метастабильного $3s(2S_{1/2})$ -состояния атома Ag $\tau = 4.684 \pm 0.019 \text{ нс}$ ($\Gamma_{3s} \sim 10^{-7} \text{ эВ}$) лежит далеко вне разрешающей способности ($\Gamma \sim 10^{-3} \text{ эВ}$) современного синхротронного эксперимента по измерению резонансных структур спектров поглощения или рассеяния фотона свободным атомом. Поэтому в качестве ширины распада $3s$ -вакансии атома Ag мы приняли ширину спектрального разрешения по энергии резонансной структуры его экспериментального (при энергии возбуждающего

спектра фотона $\hbar\omega = 100 \text{ эВ}$) $3s$ -фотоэлектронного спектра $\Gamma_{beam} = \Gamma_{3s} = 0.137 \text{ эВ}$ из работы [17]. Теоретическое значение константы спин-орбитального расщепления $3p$ -оболочки $\delta_{SO} = 0.164 \text{ эВ}$ взято из работы [15]. Нерелятивистский расчет энергий порогов ионизации $3s$ - и $3p$ -оболочек, проведенный в данной работе, дал значения $I_{3s} = 33.192 \text{ эВ}$, $I_{3p} = 14.776 \text{ эВ}$.

При численном расчете A -амплитуды согласно формуле (5) возникает проблема наличия полюса

$$x \rightarrow x_0 = \hbar\omega_1 - I_{np}$$

в подынтегральной функции

$$\Psi(x) = f(x)(x - x_0)^{-1}$$

в области интегрирования $x \in [0, \infty)$. В этом случае необходима аналитическая аппроксимация функции $f(x)$ в окрестности полюса. В данной работе в качестве такой аппроксимации мы использовали параболическую аппроксимацию (полиномами Лагранжа)

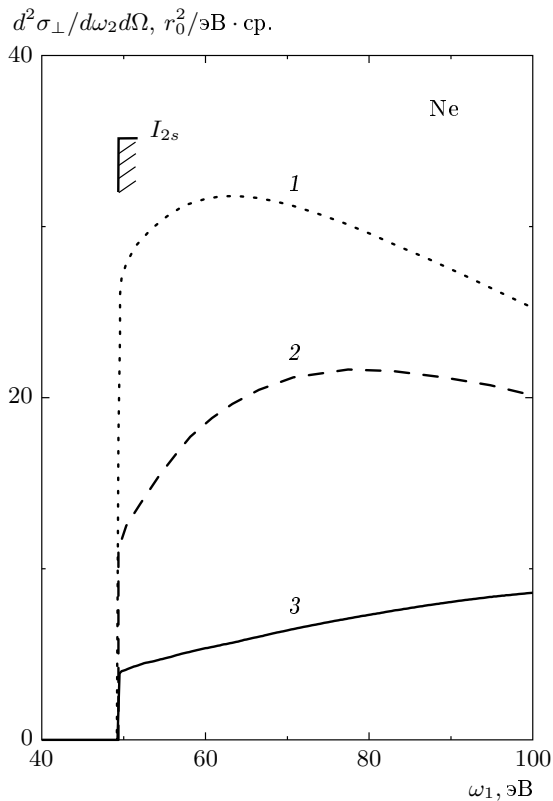


Рис. 3. Роль ЭРР и ЭМК при резонансном неупругом рассеянии линейно поляризованного фотона атомом Ne в области энергии L_1 -порога ионизации: одноконfigurационное приближение Хартри – Фока без учета ЭРР и ЭМК (1), с учетом ЭРР (2), с учетом ЭРР и ЭМК (3). Энергия рассеянного фотона $\omega_2 = 29.47$ эВ (резонансное значение ω_2 для $j = 3/2$ на рис. 2). Значения ширин, константы δ_{SO} и обозначения такие же, как на рис. 2

на интервале $x \in [\alpha; \beta]$. Тогда интеграл принимает вид

$$\mathcal{P} \int_0^\infty \Psi(x) dx = f(\alpha) - f(\beta) + \left(\int_0^\alpha + \int_\beta^\infty \right) \Psi(x) dx,$$

где $\alpha = x_0 - \Delta$, $\beta = x_0 + \Delta$, Δ — фиксируемое малое число ($\Delta \sim 0.10$ эВ).

В аномально-дисперсионной области рассеяния вклад в сечение (3) амплитуды ηC тормозного излучения оказался исчезающе малым и не превысил $10^{-3} \%$ для Ne и $10^{-2} \%$ для Ag от вклада амплитуд ηA и ηB . Причина этого явления прежде всего в том, что, согласно выражению для сечения (3), амплитуда вероятности тормозного излучения в ано-

мально-дисперсионной области рассеяния подавляется малыми множителями Γ_{ns} и $1/\omega_2$.

В этом случае с высокой степенью точности можно положить $C = 0$, тогда аналитическая структура и численный расчет сечения (3) существенно упрощаются. Можно предположить, что этот результат сохранится и для областей энергий порогов ионизации валентных и субвалентных оболочек других атомов таблицы Менделеева с 1S_0 -термом основного состояния.

Для сечения (3) в области энергий порогов ионизации $2s(\text{Ne})$ - и $3s(\text{Ar})$ -оболочек в качестве «фоновых» мы учли вклады неупругой контактной (в представлении диаграмм Голдстоуна – Хаббарда – Фейнмана в вершине взаимодействия сходятся четыре линии — две фотонные, электрона и вакансии) [1] и упругой рэлеевской (упругое рассеяние фотона электронами атома) [18, 19] частей полного дважды дифференциального сечения рассеяния при угле рассеяния (угол между волновыми векторами падающего и рассеянного фотонов) $\theta = 90^\circ$. Отметим, что в принятой схеме предполагаемого эксперимента сечение (3) (аномально-дисперсионная область рассеяния) не зависит от угла рассеяния. В этом случае угловая зависимость полного дважды дифференциального сечения рассеяния возникает через указанные контактную и рэлеевскую части сечения.

Для контактного (в данном случае нерезонансного комптоновского) рассеяния с учетом эффектов радиальной релаксации в качестве конечных учтены состояния $ns\varepsilon(s, p)$ и $np^5\varepsilon(s, p, d)$. При этом, как и в случае аномально-дисперсионного рассеяния, конечные состояния $1s \rightarrow \varepsilon(s, p)$ -перехода не учитывались в силу значительной отделенности энергии порога ионизации $1s$ -оболочки от величин $I_{ns, np}$ (например, для атома Ne $I_{1s} - I_{2s} \approx 822$ эВ). Для рэлеевского рассеяния с учетом эффектов радиальной релаксации и межоболочечных корреляций рассчитано сечение по каналу

$$\hbar\omega_1 + [0] \rightarrow [0] + \hbar\omega_1.$$

Суммарный вклад эффектов контактного и рэлеевского рассеяния не превысил величины 0.7% от вклада сечения (3) и на рис. 2–5 не приведен.

Сформулируем основные результаты данной работы.

Учет эффекта радиальной релаксации (ЭРР) однопериодических орбиталей промежуточных состояний рассеяния в хартри-фоковском поле возникающей субвалентной s -вакансии приводит к практически двукратному уменьшению абсолютных вели-

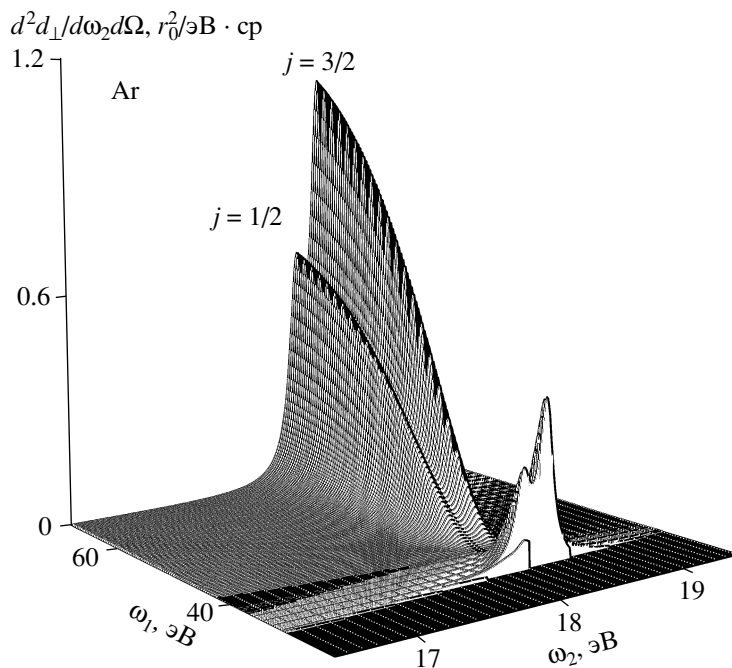


Рис. 4. Дважды дифференциальное сечение резонансного неупругого рассеяния линейно-поляризованного фотона атомом Ar в области энергии M_1 -порога ионизации $I_{3s} = 33.192$ эВ. Учтены ЭРР, ЭМК и эффект спин-орбитального расщепления $3p_j$ -оболочки; $\Gamma_{3s} = \Gamma_{beam} = 0.137$ эВ, $\delta_{SO} = 0.164$ эВ. Остальные обозначения такие же, как на рис. 2

чин дважды дифференциального сечения резонансного неупругого рассеяния фотона атомами Ne и Ar в области энергии порога ионизации субвалентной s -оболочки, рассчитанного без учета этого эффекта (кривые 1 и 2 на рис. 3, 5).

Учет эффекта межоболочечных корреляций (ЭМК) — в данном случае электростатического взаимодействия конфигураций $n\epsilon r$ и np^5xd в промежуточном состоянии рассеяния — практически в два раза уменьшает абсолютные величины дважды дифференциального сечения резонансного неупругого рассеяния фотона атомами Ne и Ar в области энергии порога ионизации субвалентной s -оболочки, рассчитанного с учетом лишь эффекта радиальной релаксации (кривые 2 и 3 на рис. 3, 5).

Более того, в случае атома Ar учет эффекта межоболочечных корреляций приводит также и к заметному качественному изменению геометрии кривой теоретического сечения рассеяния одноэлектронного приближения — образованию глубокого минимума сечения (3) в запороговой области энергий падающего фотона $\omega_1 \approx 40 \pm 5$ эВ (кривая 3 на рис. 5). Причина этого явления в том, что в указанной области энергий падающего фотона как реальная, так

и мнимая части амплитуды вероятности радиационного перехода (с поглощением фотона ω_1) в состояние с волновой функцией $|\Psi(\epsilon)\rangle$ из (2) проходят через нуль. Этот результат воспроизводит результаты, теоретически предсказанные и физически интерпретированные еще в ранней работе [20] по исследованию спектра поглощения фотона атомом Ar в области энергии порога ионизации $3s$ -оболочки.

Общий вывод данной работы для, в частности, попыток реализации концепции создания рентгеновского лазера на эмиссионных переходах $2p \rightarrow 2s$ (Ne, неоноподобные ионы) [4] и $3p \rightarrow 3s$ (Ar, аргоноподобные ионы) можно сформулировать следующим образом. В области энергии порога ионизации субвалентной s -оболочки атомов Ne и Ar учет эффектов радиальной релаксации и межоболочечных корреляций приводит к сильному подавлению интенсивности резонансного ($\omega_2 \rightarrow \Delta_i$ в функции W_i из (3)) комптоновского рассеяния, рассчитанной в одноэлектронном приближении «неперестроенного» атомного остатка. При этом указанные эффекты оказываются одного порядка и, таким образом, при теоретическом описании абсолютных величин и формы дважды дифференциального сечения резо-

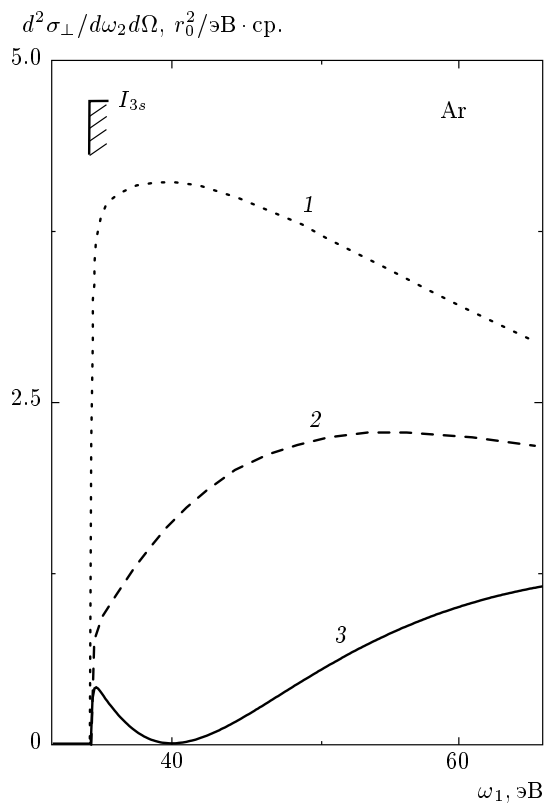


Рис. 5. Роль ЭРР и ЭМК при резонансном неупругом рассеянии линейно-поляризованного фотона атомом Ar в области энергии M_1 -порога ионизации. Энергия рассеянного фотона $\omega_2 = 18.41$ эВ (резонансное значение ω_2 для $j = 3/2$ на рис. 4). Значение ширины и константы δ_{SO} такие же, как на рис. 4. Остальные обозначения такие же, как на рис. 2, 3

нансного неупругого рассеяния должны учитываться одновременно.

4. ЗАКЛЮЧЕНИЕ

Проведено первое теоретическое исследование роли многочастичных эффектов при определении абсолютных величин и формы дважды дифференциального сечения резонансного неупругого рассеяния фотона рентгеновского вакуумного ультрафиолетового диапазона в области энергии порога ионизации субвалентной ns -оболочки на примере свободных атомов Ne ($n = 2$) и Ar ($n = 3$).

Установлено, что вероятность эмиссионного перехода $np \rightarrow ns$ в исследуемых областях энергий падающего фотона существенно определяется прежде всего эффектом радиальной релаксации состояний рассеяния и эффектом межоболочечных кор-

реляций, учет которых в несколько раз уменьшает интенсивность резонансного комптоновского (в данном случае аномально-дисперсионного) рассеяния, полученную в одноэлектронном приближении.

При этом вклады эффектов тормозного излучения аномально-дисперсионного типа, контактного неупругого рассеяния (как типа рассеяния Ландсберга–Мандельштама–Рамана, так и комптоновского типа) и рэлеевского (упругого) рассеяния оказываются практически подавленными и могут не учитываться при теоретической интерпретации эмиссионных спектров.

В настоящее время эксперимент по измерению дважды дифференциального сечения резонансного неупругого рассеяния фотона атомами Ne и Ar в области энергии порога ионизации субвалентной s -оболочки в литературе отсутствует. Таким образом, пока отсутствует возможность прямого сравнения результатов данной работы с экспериментом. Однако результаты данной работы (кривые 2 и 3 на рис. 3, 5) качественно воспроизводят результаты многочисленных экспериментальных и теоретических исследований формы спектров фотопоглощения в области энергии порога ионизации субвалентной s -оболочки атомов Ne и Ar (см., например, детальный обзор [21]).

ЛИТЕРАТУРА

1. А. Н. Хоперский, А. М. Надолинский, В. А. Явна, ЖЭТФ **128**, 698 (2005).
2. H. Daido, Rep. Prog. Phys. **65**, 1513 (2002).
3. K. A. Janulewicz, A. Lucianetti, G. Priebe, and P. V. Nickles, X-Ray Spectrom. **33**, 262 (2004).
4. P. L. Hagelstein, Plasma Phys. **25**, 1345 (1983).
5. J. K. Lepson, P. Beiersdorfer, E. Behar, and S. M. Kahn, Astrophys. J. **590**, 604 (2003).
6. P. Beiersdorfer, E. Behar, K. P. Boyce et al., Astrophys. J. **576**, L169 (2002).
7. M. Ya. Amusia and N. A. Cherepkov, Case Stud. Atom. Phys. **5**, 47 (1975).
8. P.-O. Löwdin, Phys. Rev. **97**, 1474 (1955).
9. А. П. Юцис, А. Ю. Савукина, Математические основы теории атома, Минтис, Вильнюс (1973).
10. М. Я. Амусья, Тормозное излучение, Энергоатомиздат, Москва (1990).

11. Н. Марч, У. Янг, С. Сампантхар, *Проблема многих тел в квантовой механике*, Мир, Москва (1969).
12. А. И. Ахиезер, В. Б. Берестецкий, *Квантовая электродинамика*, Наука, Москва (1969).
13. V. Florescu and M. Gavrilă, *Phys. Rev. A* **68**, 052709 (2003).
14. O. Wilhelmi, G. Mentzel, B. Zimmermann et al., *J. Electr. Spectr. Rel. Phen.* **101–103**, 155 (1999).
15. K.-N. Huang, M. Aoyagi, M. H. Chen et al., *At. Data Nucl. Data Tables.* **18**, 243 (1976).
16. S. Lauer, H. Liebel, F. Vollweiler et al., *J. Phys. B: At. Mol. Opt. Phys.* **32**, 2015 (1999).
17. A. Kikas, S. J. Osborne, A. Ausmees et al., *J. Electr. Spectr. Rel. Phen.* **77**, 241 (1996).
18. А. Н. Хоперский, В. А. Явна, *Рассеяние фотона многоэлектронной системой*, Энергоатомиздат, Москва (2004).
19. R. H. Pratt, *Radiat. Phys. Chem.* **74**, 411 (2005).
20. М. Я. Амусья, В. К. Иванов, Н. А. Черепков, Л. В. Чернышева, *ЖЭТФ* **66**, 1537 (1974).
21. М. Я. Амусья, В. К. Иванов, *УФН* **152**, 185 (1987).